

UNIVERSIDADE FEDERAL DO TRIÂNGULO MINEIRO
INSTITUTO DE CIÊNCIAS TECNOLÓGICAS E EXATAS
DEPARTAMENTO DE ENGENHARIA QUÍMICA
Disciplina: Controle de Processos Químicos I



Capítulo 3

Ferramentas matemáticas para o controle de processos

Prof. Davi Leonardo de Souza
davi.souza@uftm.edu.com

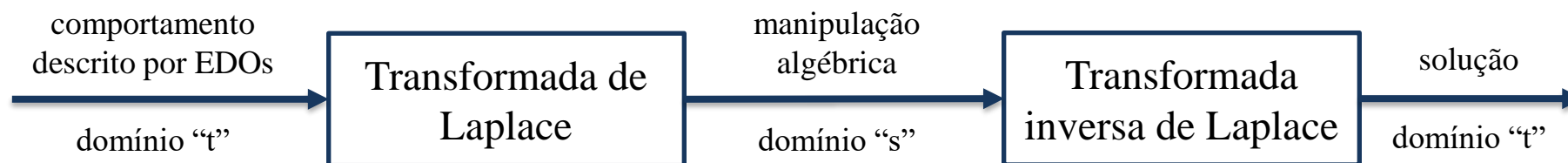
Conteúdo da aula

- 1.0 - Transformada de Laplace (TL)
- 2.0 - Algumas propriedades da Transformada de Laplace
- 3.0 - Exemplos de Transformada de Laplace mais utilizadas em controle
- 4.0 - Resolução de EDO's utilizando a Transformada de Laplace
- 5.0 - Funções de Transferência (FT)
- 6.0 - Propriedades das Funções de Transferência
- 7.0 - Linearização de modelos

1.0 - Transformada de Laplace (TL)

O método de Transformada de Laplace é um método muito útil para resolver EDOs. Com a Transformada de Laplace, pode-se converter muitas funções comuns, tais como, senoidais e amortecidas, em equações algébricas de uma variável “s”. As equações diferenciais também podem ser transformadas em equações algébricas através da Transformada de Laplace (TL).

A transformada de Laplace é uma operação semelhante à transformada logarítmica. As equações diferenciais são transformadas em equações algébricas, em que pode-se realizar operações algébricas normais no domínio “s”, depois retorna ao domínio “t” através da inversa. Representando esquematicamente, observa-se:



O matemático Pierre Simon de Laplace (1749 - 1827) descobriu um meio para resolver EDOs, que consiste em:

- 1 - Multiplicar cada termo da equação por e^{-st} ;
- 2 - Integrar cada termo em relação ao tempo, de zero à infinito;
- 3 - “s” é uma constante de unidade tempo (1/tempo).

A transformada de Laplace da função $f(t)$ é denotada e definida por:

$$F(s) = L[f(t)] = \int_0^{\infty} e^{-st} f(t) dt \quad (1)$$

Onde, $L[]$ é o símbolo da Transformada de Laplace, $f(t)$ é a função do tempo contínuo para $0 < t < \infty$ e L é o operador de Laplace.

$$\text{A transformada inversa é definida como: } f(t) = L^{-1}F(s) \quad (2)$$

sendo, L^{-1} o operador inverso de Laplace.

2.0 - Algumas propriedades da Transformada de Laplace

As propriedades essenciais da Transformada de Laplace são:

1 - Soma de duas funções:

$$L[f_1(t) + f_2(t)] = L[f_1(t)] + L[f_2(t)] = F_1(s) + F_2(s) \quad (3)$$

2 - Multiplicação por constante:

$$L[af_1(t)] = aL[f_1(t)] = aF_1(s) \quad (4)$$

3 - Função com atraso no tempo (translação real):

$$L[f(t - t_0)] = e^{-t_0 s} F(s) \quad (5)$$

4 - Teorema da diferenciação real:

$$L\left[\frac{df(t)}{dt}\right] = sF(s) - f_0 \quad (6)$$

com $f(0) = f(t=0)$

Em geral temos:

$$\mathcal{L}\left[\frac{d^n f(t)}{dt^n}\right] = s^n F(s) - s^{n-1}f(0) - \dots - \frac{d^{n-1}f}{dt^{n-1}}\bigg|_{t=0} \quad (7)$$

Em controle de processos geralmente admitimos que as condições iniciais estejam em estado estacionário, e que as variáveis são desvios das condições iniciais (o valor inicial é zero). Para este caso a expressão geral para a diferenciação real se reduz a:

$$\mathcal{L}\left[\frac{d^n f(t)}{dt^n}\right] = s^n F(s) \quad (8)$$

5 - Teorema da integração real:

$$\mathcal{L}\left[\int_0^t f(t)dt\right] = \frac{1}{s} F(s) \quad (9)$$

6 - Teorema do valor final: Podemos descobrir o valor final ou valor no estado estacionário de uma função a partir de sua transformada.

$$\lim_{t \rightarrow \infty} f(t) = \lim_{s \rightarrow 0} sF(s) \quad (10)$$

7 - Teorema da diferenciação complexa:

$$L[tf(t)] = -\frac{dF(s)}{ds} \quad (11)$$

8 - Teorema da translação complexa:

$$L[e^{at}f(t)] = F(s - a) \quad (12)$$

com, “a” o atraso.

9 - Teorema do valor inicial: Permite o cálculo do valor inicial de uma função a partir de sua transformada.

$$\lim_{t \rightarrow 0} f(t) = \lim_{s \rightarrow \infty} sF(s) \quad (13)$$

Exemplo 2.1: Encontre a TL da equação abaixo, em condições iniciais nulas.

$$9 \frac{d^2 y(t)}{dt^2} + 6 \frac{dy(t)}{dt} + y(t) = 2x(t)$$

Solução: $y(0) = 0$ e $\left. \frac{dy(t)}{dt} \right|_{(0)} = 0$

$$9L\left[\frac{d^2 y(t)}{dt^2}\right] + 6L\left[\frac{dy(t)}{dt}\right] + L[y(t)] = 2L[x(t)]$$

$$9s^2 Y(s) + 6s Y(s) + Y(s) = 2X(s)$$

$$Y(s) = \frac{2}{9s^2 + 6s + 1} X(s)$$

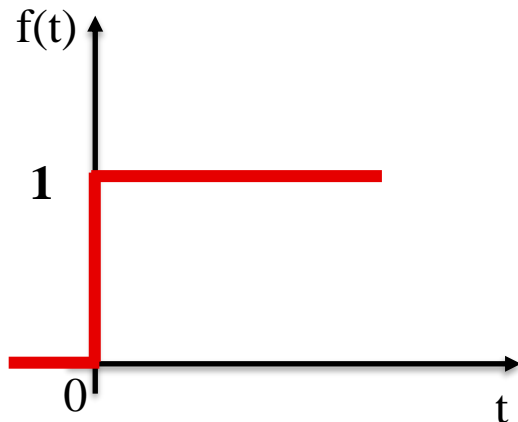
3.0 - Exemplos de Transformada de Laplace mais utilizadas em controle

1 - Função constante:

$$f(t) = a \rightarrow F(s) = \frac{a}{s} \quad (14)$$

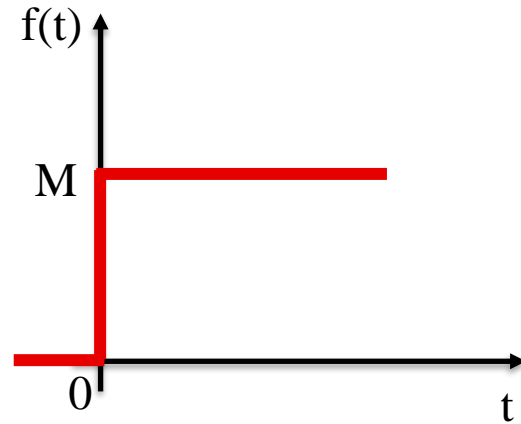
2 - Função degrau:

→ Unitário



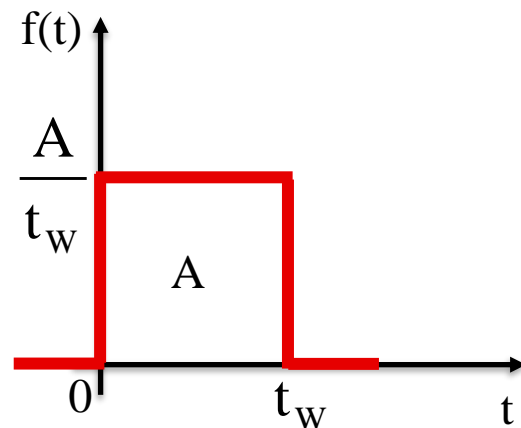
$$f(t) = \begin{cases} 0 & \text{para } t < 0 \\ 1 & \text{para } t \geq 0 \end{cases} \rightarrow F(s) = \frac{1}{s} \quad (15)$$

→ Degrau de amplitude M:



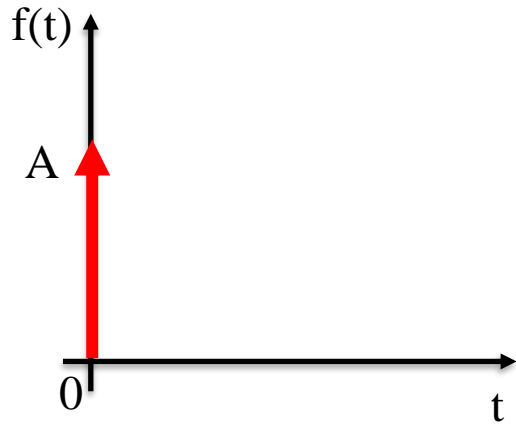
$$f(t) = \begin{cases} 0 & \text{para } t < 0 \\ M & \text{para } t \geq 0 \end{cases} \rightarrow F(s) = \frac{M}{s} \quad (16)$$

3 - Função Pulso:



$$f(t) = \begin{cases} 0 & \text{para } t < 0 \\ \frac{A}{t_w} & \text{para } 0 \leq t < t_w \\ 0 & \text{para } t \geq t_w \end{cases} \rightarrow F(s) = \frac{A}{t_w s} (1 - e^{-t_w s}) \quad (17)$$

4 - Função impulso (Delta de Dirac):



$$\delta(t) = \begin{cases} f(t) = \lim_{t_w \rightarrow 0} \frac{A}{t_w} & \text{para } 0 < t < t_w \\ f(t) = 0 & \text{para } t < 0 \text{ e } t > t_w \end{cases}$$

$$L[f(t)] = \lim_{t_w \rightarrow 0} \frac{A}{t_w s} (1 - e^{-t_w s}) \rightarrow F(s) = A \quad (18)$$

5 - Função exponencial:

$$f(t) = e^{-bt} \rightarrow F(s) = \frac{1}{b + s} \quad (19)$$

A Transformada de Laplace é definida para $b < 0$.

6 - Onda senoidal de frequência ω :

$$f(t) = \text{sen}(\omega t) = \frac{e^{i\omega t} - e^{-i\omega t}}{2i} \rightarrow F(s) = \frac{\omega}{s^2 + \omega^2} \quad (20)$$

4.0 - Resolução de EDO's utilizando a Transformada de Laplace

É comum e prático utilizarmos a Transformada de Laplace para resolução de EDO's. Dentro deste contexto, necessitamos do entendimento da manipulação das equações algébricas através da expansão em frações parciais.

1 - Fatores lineares no denominador:

Seja a seguinte expressão:

$$G(s) = \frac{z(s)}{(s - p_1)(s - p_2) \dots (s - p_n)} \quad (21)$$

em que p_i são as raízes do polinômio do denominador, com $i = 1:n$.

Frações parciais:

$$G(s) = \frac{A}{s - p_1} + \frac{B}{s - p_2} + \dots + \frac{N}{s - p_n} \quad (22)$$

com $A = \lim_{s \rightarrow p_1} [(s - p_1)G(s)]$

Generalizando:

$$N = \lim_{s \rightarrow p_n} [(s - p_n)G(s)] \quad (23)$$

2 - Fatores lineares repetidos:

Seja a expressão:

$$G(s) = \frac{z(s)}{(s - p_1)^k (s - p_2) \dots (s - p_n)} \quad (24)$$

com, k o número de vezes que a raiz repete.

As frações parciais serão:

$$G(s) = \frac{A_1}{(s - p_1)^k} + \frac{A_2}{(s - p_1)^{k-1}} + \dots + \frac{A_k}{(s - p_1)} + \frac{B}{s - p_2} + \dots + \frac{N}{s - p_n} \quad (25)$$

Logo:

$$A_1 = \lim_{s \rightarrow p_1} [(s - p_1)^k G(s)] \quad (26)$$

$$A_k = \lim_{s \rightarrow p_1} \left[\frac{1}{(k-1)!} \frac{d^{k-1}}{ds^{k-1}} [(s - p_1)^k G(s)] \right] \quad (27)$$

Desta forma, duas soluções de EDO's podem ser encontradas, fazendo a inversa das expressões em frações parciais:

1 - Fatores lineares no denominador: $g(t) = Ae^{p_1 t} + Be^{p_2 t} + \dots + Ne^{p_n t} \quad (28)$

2 - Fatores lineares repetidos no denominador, com A_k ($k = 1, 2, \dots, m$):

$$g(t) = \left[\frac{A_1 t^{k-1}}{(m-1)!} + \frac{A_2 t^{k-2}}{(m-2)!} + \dots + A_k \right] e^{p_1 t} + \dots + Ne^{p_n t} \quad (29)$$

Exemplo 4.1: Resolva a EDO utilizando TL. Considere a resposta para um degrau unitário em $x(t)$:

$$\frac{d^3 y(t)}{dt^3} + 6 \frac{d^2 y(t)}{dt^2} + 11 \frac{dy(t)}{dt} + 6y(t) = x(t)$$

Solução: Aplicando a TL, teremos:

$$L\left[\frac{d^3 y(t)}{dt^3}\right] + 6L\left[\frac{d^2 y(t)}{dt^2}\right] + 11L\left[\frac{dy(t)}{dt}\right] + 6L[y(t)] = L[x(t)]$$

$$s^3 Y(s) + 6s^2 Y(s) + 11s Y(s) + 6Y(s) = X(s)$$

$$Y(s)(s^3 + 6s^2 + 11s + 6) = X(s)$$

$$Y(s) = \frac{1}{s^3 + 6s^2 + 11s + 6} X(s)$$

Aplicando degrau unitário em $x(t)$ teremos:

$$X(s) = \frac{1}{s}$$

$$Y(s) = \frac{1}{s^3 + 6s^2 + 11s + 6} \frac{1}{s}$$



DICA: Sempre fatore o polinômio, para facilitar a manipulação das frações parciais!

Fatorando o polinômio do denominador, teremos:

$$Y(s) = \frac{1}{s} \frac{1}{(s+1)(s+2)(s+3)}$$

Em frações parciais teremos:

$$G(s) = \frac{A}{s} + \frac{B}{(s+1)} + \frac{C}{(s+2)} + \frac{D}{(s+3)}$$

Logo:

$$A = \lim_{s \rightarrow 0} \left[\cancel{(s-0)} \frac{1}{s \cancel{(s+1)}(s+2)(s+3)} \right] = \frac{1}{6}$$

$$B = \lim_{s \rightarrow -1} \left[\cancel{(s+1)} \frac{1}{s \cancel{(s+1)}(s+2)(s+3)} \right] = -\frac{1}{2}$$

$$C = \lim_{s \rightarrow -2} \left[\cancel{(s+2)} \frac{1}{s \cancel{(s+1)} \cancel{(s+2)}(s+3)} \right] = \frac{1}{2}$$

$$D = \lim_{s \rightarrow -3} \left[\cancel{(s+3)} \frac{1}{s \cancel{(s+1)}(s+2) \cancel{(s+3)}} \right] = -\frac{1}{6}$$

Assim, substituindo as constantes na Eq. (28), temos a solução:

$$y(t) = \frac{1}{6} - \frac{e^{-t}}{2} + \frac{e^{-2t}}{2} - \frac{e^{-3t}}{6}$$

5.0 - Funções de Transferência (FT)

Em teoria de controle, funções chamadas de Funções de Transferência (FT) são comumente usadas para caracterizar as relações de entrada-saída de componentes ou sistemas que podem ser descritos por EDO's. A Função de Transferência de um sistema de EDO's lineares é definida como a relação da Transformada de Laplace da saída para a Transformada de Laplace da entrada. Consideremos o sistema definido pela seguinte EDO:

$$a_n \frac{dy^n}{dt^n} + a_{n-1} \frac{dy^{n-1}}{dt^{n-1}} + \dots + a_1 \frac{dy}{dt} + a_0 y = b_m \frac{dx^m}{dt^m} + b_{m-1} \frac{dx^{m-1}}{dt^{m-1}} + \dots + b_1 \frac{dx}{dt} + b_0 x \quad (30)$$

com “y” a saída e “x” a entrada, e $n \geq m$.

A Função de Transferência (FT) do sistema é obtida tomando-se a Transformada de Laplace de ambos os membros da Eq. (30):

$$FT = G(s) = \frac{L[\text{saída}]}{L[\text{entrada}]} \bigg|_{\text{condições iniciais nulas}} \quad (31)$$

$$G(s) = \frac{Y(s)}{X(s)} = \frac{b_m s^m + b_{m-1} s^{m-1} + \dots + b_1 s + b_0}{a_n s^n + a_{n-1} s^{n-1} + \dots + a_1 s + a_0} = \frac{\sum_{i=0}^m b_i s^i}{\sum_{i=0}^n a_i s^i} \quad (32)$$

Usando o conceito de Função de Transferência (FT) é possível representar a dinâmica do sistema pelas equações algébricas em “s”.

A aplicação do conceito de FT é limitada aos sistemas de EDO's lineares, desta forma, sistemas representados por EDO não lineares, deve-se fazer a linearização antes de aplicar a TL!

5.1 - Funções de transferência de sistemas dinâmicos

Suponha a seguinte EDO de primeira ordem:

$$V_p C_p \frac{dT}{dt} = W c_p (T_i - T) + Q \quad (33)$$

Se o processo está inicialmente em EE, temos: $T(0) = \bar{T}$; $T_i(0) = \bar{T}_i$; $Q(0) = \bar{Q}$;

$$\text{Saída } \bar{T} \rightarrow \text{Entradas } \begin{cases} \bar{T}_i \\ \bar{Q} \end{cases} \rightarrow \text{No EE teremos: } 0 = W c_p (\bar{T}_i - \bar{T}) + \bar{Q}$$

Para eliminar a dependência do modelo das condições estacionárias, utiliza-se o conceito de “variável desvio”, subtraindo-se a relação do EE da EDO do modelo:

$$\frac{V_p}{W} \frac{d(T - \bar{T})}{dt} = [(T_i - \bar{T}_i) - (T - \bar{T})] + \frac{1}{W c_p} (Q - \bar{Q}) \quad (34)$$

Fazendo $T' = T - \bar{T}$; $T_i' = T_i - \bar{T}_i$ e $Q' = Q - \bar{Q}$ variáveis desvio, teremos :

$$\frac{V_p}{W} \frac{dT'}{dt} = [T_i' - T'] + \frac{1}{Wc_p} Q' \quad (35)$$

com:

$$\tau = \frac{V_p}{W} \text{ e } K = \frac{1}{Wc_p}$$

Teremos:

$$\tau \frac{dT'}{dt} = [T_i' - T'] + KQ' \quad (36)$$

Aplicando Laplace:

$$\tau \cdot L\left[\frac{dT'}{dt}\right] = L[T_i' - T'] + K \cdot L[Q'] \quad (37)$$

Teremos: $\tau s T'(s) = T_i'(s) - T'(s) + KQ'(s)$

$$(\tau s + 1)T'(s) = T_i'(s) + KQ'(s)$$

$$T'(s) = \frac{1}{(\tau s + 1)} T_i'(s) + \frac{K}{(\tau s + 1)} Q'(s) \quad \Rightarrow \quad T'(s) = G_1(s) T_i'(s) + G_2(s) Q'(s) \quad (38)$$

Com

$$G_1(s) = \frac{1}{(\tau s + 1)} \text{ e } G_2(s) = \frac{K}{(\tau s + 1)}$$

5.2 - Considerações sobre funções de transferência

- ✓ É um modelo matemático expresso através de uma EDO, que relaciona saída com entrada;
- ✓ Independe da magnitude e da natureza da entrada;
- ✓ Inclui as unidades das entradas e saídas;
- ✓ Não fornece informações sobre a estrutura física do sistema;
- ✓ Pode ser estabelecida experimentalmente introduzindo-se entradas conhecidas e analisando as saídas.

5.3 - FT utilizando matrizes no espaço de estados

Dado o modelo linear em espaço de estados

$$\begin{cases} \dot{\mathbf{x}} = \mathbf{A}\mathbf{x} + \mathbf{B}\mathbf{u} \\ \mathbf{y} = \mathbf{C}\mathbf{x} + \mathbf{D}\mathbf{u} \end{cases} \quad (39)$$

A FT do modelo, utilizando as matrizes \mathbf{A} , \mathbf{B} , \mathbf{C} e \mathbf{D} , no espaço de estados, pode ser escrita por:

$$\mathbf{Y}(s) = [\mathbf{C}(s\mathbf{I} - \mathbf{A})^{-1}\mathbf{B} + \mathbf{D}]\mathbf{U}(s) \quad (40)$$

Com $G(s) = \frac{\mathbf{Y}(s)}{\mathbf{U}(s)}$, teremos:

$$G(s) = [\mathbf{C}(s\mathbf{I} - \mathbf{A})^{-1}\mathbf{B} + \mathbf{D}] \quad (41)$$

6.0 - Propriedades das Funções de Transferência

1 - Ganho da função de transferência

O ganho no estado-estacionário é a razão entre a variação da saída com a variação da entrada. Pode ser calculado diretamente, fazendo $s = 0$ na FT, caso ela exista.

$$K = \frac{\bar{y}_2 - \bar{y}_1}{\bar{x}_2 - \bar{x}_1} = \frac{b_0}{a_0} \quad (42)$$

em que 1 e 2 indicam diferentes estados-estacionários para \bar{y} e \bar{x} .

Se a FT tiver um ganho, então:

$$K = \lim_{s \rightarrow 0} G(s) \quad (43)$$

Exemplo 6.1: Obter o Ganho das FTs do modelo:

$$T'(s) = \frac{1/\rho q c_p}{(s\tau + 1)} Q'(s) + \frac{1}{(s\tau + 1)} T'_0(s) \quad (44)$$

$$K_1 = \lim_{s \rightarrow 0} G_1(s) = \lim_{s \rightarrow 0} \frac{T'(s)}{Q'(s)} = \lim_{s \rightarrow 0} \frac{1/\rho q c_p}{(s\tau + 1)} \Rightarrow K_1 = \frac{1}{\rho q c_p}$$

$$K_2 = \lim_{s \rightarrow 0} G_2(s) = \lim_{s \rightarrow 0} \frac{T'(s)}{T'_0(s)} = \lim_{s \rightarrow 0} \frac{1}{(s\tau + 1)} \Rightarrow K_2 = 1$$

2 - Ordem da função de transferência

A ordem da função de transferência é a **maior potência de “s” no denominador do polinômio** que é a ordem da equação diferencial equivalente. O sistema é chamado de *n-ésima* ordem.

$$G(s) = \frac{2s^2 + 5}{3s^3 + 5s^2 + 3}$$

FT de 3ª ordem

3 - Constante de tempo da função de transferência

Se ambos os polinômios, do numerador e do denominador forem fatorados na forma de produto, teremos:

$$\beta \prod_i (\tau_i s + 1)$$

Ao fatorar, deve aparecer o termo “1” para cada raiz do polinômio

(45)

O termo que acompanha “s” é chamado constante de tempo (τ_i) que dá uma informação da velocidade e das características da resposta do sistema, e β a constante resultante da fatoração do polinômio, para n raízes ($i = 1, 2, \dots, n$).

4 - Realização física

Dado um sistema descrito pela FT:

$$G(s) = \frac{b_m s^m + b_{m-1} s^{m-1} + \dots + b_1 s + b_0}{a_{n-1} s^n + a_{n-1} s^{n-1} + \dots + a_1 s + a_0} \quad (46)$$

Polinômio característico \longrightarrow

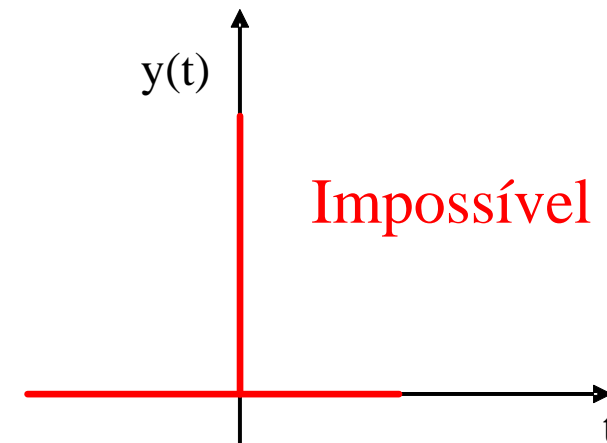
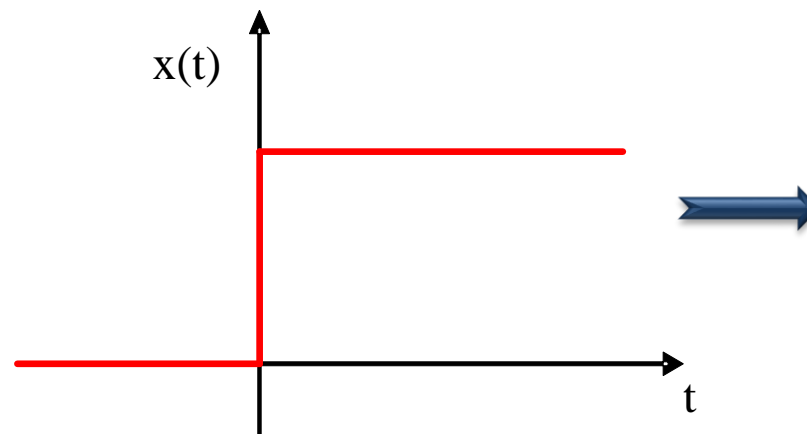
é fisicamente possível se $n \geq m$ (grau do polinômio do denominador for \geq que o grau do polinômio do numerador).

Prova: Suponha um sistema onde $n = 0$ e $m = 1$: $a_0 y = b_1 \frac{dx}{dt} + b_0 x$

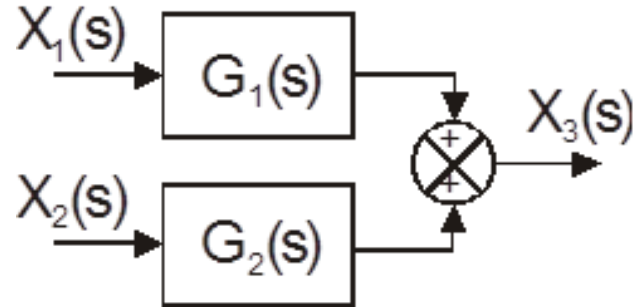
Entrada
degrau



Saída
impulso
em $t=0$

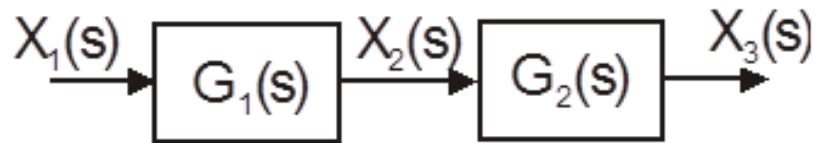


5 - Propriedade aditiva (sistema em paralelo)



$$X_3(s) = G_1(s)X_1(s) + G_2(s)X_2(s) \quad (47)$$

6 - Propriedade multiplicativa (sistema em série)



$$\frac{X_2(s)}{X_1(s)} = G_1(s) \text{ e } \frac{X_3(s)}{X_2(s)} = G_2(s)$$

$$\frac{X_2(s)}{X_1(s)} \frac{X_3(s)}{X_2(s)} = G_1(s)G_2(s) \rightarrow X_3(s) = [G_1(s)G_2(s)]X_1(s) \quad (48)$$

7 - Polos e Zeros

Dada a função de transferência de acordo com a Eq (46):

$$G(s) = \frac{b_m s^m + b_{m-1} s^{m-1} + \dots + b_1 s + b_0}{a_n s^n + a_{n-1} s^{n-1} + \dots + a_1 s + a_0}$$

Esta expressão pode ser fatorada em:

$$G(s) = \left(\frac{b_m}{a_n} \right) \frac{(s - z_1)(s - z_2) \dots (s - z_m)}{(s - p_1)(s - p_2) \dots (s - p_n)} \quad (49)$$

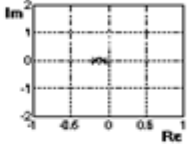
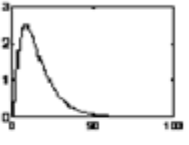
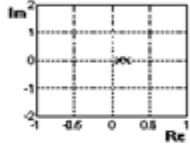
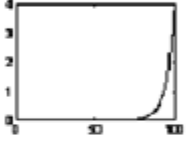
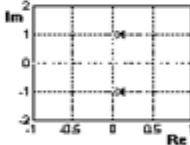
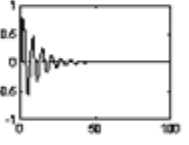
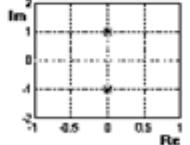
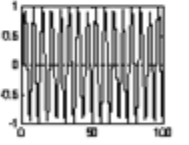
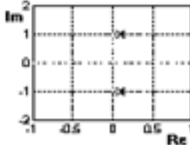
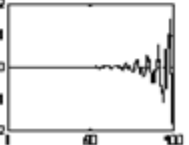
em que: z_i são os zeros da função de transferência

p_i são os polos da função de transferência

Os polos e zeros tem um papel importante na determinação do comportamento dinâmico do sistema!

Podemos visualizar o tipo de comportamento dinâmico associado a cada tipo de polo:

- ✓ distintos e reais;
- ✓ pares complexos e conjugados ($a \pm bj$);
- ✓ múltiplos.

		<i>raízes</i>	<i>forma</i>	<i>Lugar das raízes</i>	<i>Comportamento</i>
1	<i>pólos reais e negativos</i>	$p_1 = -a_1$	$y(t) = C_1 e^{-a_1 t}$		
2	<i>pólos reais e positivos</i>	$p_1 = a_1$	$y(t) = C_1 e^{a_1 t}$		
3	<i>pólos complexos conjugados com parte real negativa</i>	$p_1 = -a + bi$ $p_2 = -a - bi$	$y(t) = e^{-at} (C_1 \cos bt + C_2 \sin bt)$		
4	<i>pólos imaginários puros</i>	$p_1 = bi$ $p_2 = -bi$	$y(t) = C_1 \cos bt + C_2 \sin bt$		
5	<i>pólos complexos conjugados com parte real positiva</i>	$p_1 = a + bi$ $p_2 = a - bi$	$y(t) = e^{at} (C_1 \cos bt + C_2 \sin bt)$		

7.0 - Linearização de modelos

Seja o modelo:

$$\frac{dy}{dt} = f(y, x) \quad (50)$$

com y a saída e x a entrada.

Expandindo a Eq. (50) em série de Taylor em torno do ponto de EE (\bar{y} e \bar{x}) e truncando no termo de 1ª ordem:

$$f(y, x) \approx f(\bar{y}, \bar{x}) + \left. \frac{\partial f}{\partial y} \right|_{\bar{y}, \bar{x}} (y - \bar{y}) + \left. \frac{\partial f}{\partial x} \right|_{\bar{y}, \bar{x}} (x - \bar{x}) \quad (51)$$

$$\frac{dy}{dt} = \frac{dy'}{dt} = \left. \frac{\partial f}{\partial y} \right|_{\bar{y}, \bar{x}} y' + \left. \frac{\partial f}{\partial x} \right|_{\bar{y}, \bar{x}} x' \quad (52)$$

Exemplo 7.1: Encontre as FTs do processo abaixo admitindo $q = q(t)$, $T_0 = T_0(t)$ e $Q = Q(t)$.

$$V\rho c_p \frac{dT}{dt} = \rho q c_p (T_0 - T) + Q \quad \text{Condições iniciais: } \begin{cases} T(0) = \bar{T} \\ T_0(0) = \bar{T}_0 \end{cases}$$

$$\frac{dT}{dt} = \underbrace{\frac{q}{V}(T_0 - T)}_{\text{Não linearidade}} + \frac{1}{\rho V c_p} Q$$

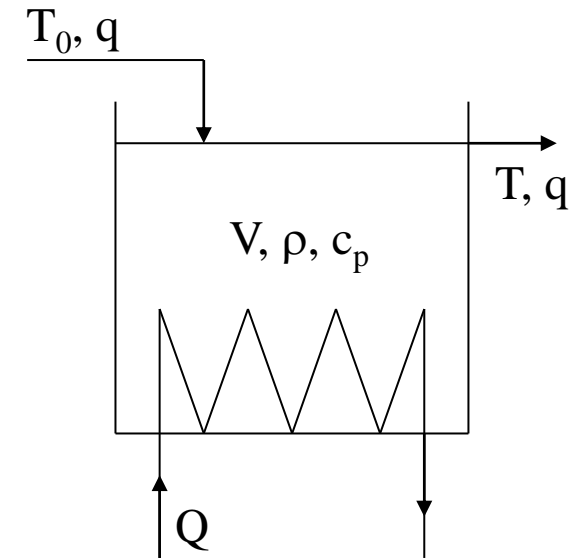
Não linearidade

Linearizando:

$$\frac{dT'}{dt} = \left. \frac{\partial f}{\partial T} \right|_{EE} T' + \left. \frac{\partial f}{\partial Q} \right|_{EE} Q' + \left. \frac{\partial f}{\partial T_0} \right|_{EE} T_0' + \left. \frac{\partial f}{\partial q} \right|_{EE} q'$$

Temos que:

$$f = \frac{q}{V}(T_0 - T) + \frac{1}{\rho V c_p} Q \Rightarrow \boxed{\left. \frac{\partial f}{\partial T} \right|_{EE} = \frac{-\bar{q}}{V}} \quad \boxed{\left. \frac{\partial f}{\partial Q} \right|_{EE} = \frac{1}{\rho V c_p}} \quad \boxed{\left. \frac{\partial f}{\partial T_0} \right|_{EE} = \frac{\bar{q}}{V}} \quad \boxed{\left. \frac{\partial f}{\partial q} \right|_{EE} = \frac{(\bar{T}_0 - \bar{T})}{V}}$$



Substituindo na equação da linearização, teremos:

$$\frac{dT'}{dt} = -\frac{\bar{q}}{V} T' + \frac{1}{\rho V c_p} Q' + \frac{\bar{q}}{V} T_0' + \frac{(\bar{T}_0 - \bar{T})}{V} q'$$

Com o modelo linear no EE, podemos então aplicar a TL:

$$sT'(s) = -\frac{\bar{q}}{V} T'(s) + \frac{1}{\rho V c_p} Q'(s) + \frac{\bar{q}}{V} T_0'(s) + \frac{(\bar{T}_0 - \bar{T})}{V} q'(s)$$

$$\left(\frac{V}{\bar{q}} s + 1 \right) T'(s) = \frac{1}{\rho \bar{q} c_p} Q'(s) + T_0'(s) + \frac{(\bar{T}_0 - \bar{T})}{\bar{q}} q'(s)$$

$$T'(s) = \frac{K_1}{(\tau s + 1)} Q'(s) + \frac{1}{(\tau s + 1)} T_0'(s) + \frac{K_2}{(\tau s + 1)} q'(s)$$

com $K_1 = 1 / \rho \bar{q} c_p$; $K_2 = (\bar{T}_0 - \bar{T}) / \bar{q}$ e $\tau = V / \bar{q}$

Funções de
Transferência do modelo

$$G_1(s) = \frac{T'(s)}{Q'(s)} = \frac{K_1}{(\tau s + 1)}$$

$$G_2(s) = \frac{T'(s)}{T_0'(s)} = \frac{1}{(\tau s + 1)}$$

$$G_3(s) = \frac{T'(s)}{q'(s)} = \frac{K_2}{(\tau s + 1)}$$

Exemplo 7.2: Considere o sistema, em que deve-se obter as Funções de Transferência para o perfil de nível com o tempo.

A vazão através da válvula de descarga é proporcional à raiz quadrada do nível.

$$q = C_v \sqrt{h}$$

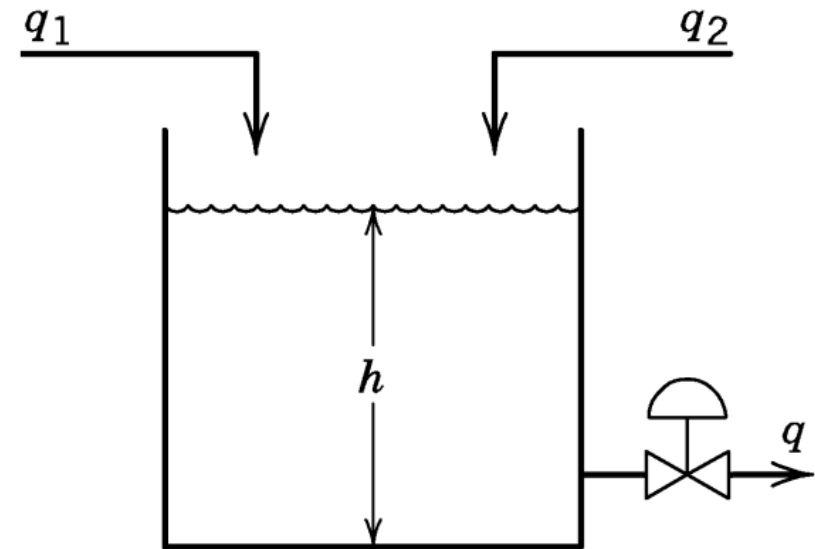
com C_v a constante da válvula.

Solução: BM

$$\frac{dV}{dt} = q_1 + q_2 - q \text{ com } V = Ah \text{ e } q = C_v \sqrt{h}$$

Assim, teremos:

$$A \frac{dh}{dt} = q_1 + q_2 - C_v \sqrt{h}$$



Linearizando, e colocando em variável desvio, teremos:

$$\frac{dh'}{dt} = \left. \frac{\partial f}{\partial q_1} \right|_{EE} q_1' + \left. \frac{\partial f}{\partial q_2} \right|_{EE} q_2' + \left. \frac{\partial f}{\partial h} \right|_{EE} h' \quad \Rightarrow \quad A \frac{dh'}{dt} = q_1' + q_2' - \frac{C_v}{2\sqrt{h}} h'$$

Definindo a resistência da válvula, como: $\frac{1}{R} = \frac{C_v}{2\sqrt{h}}$ \Rightarrow $A \frac{dh'}{dt} = q_1' + q_2' - \frac{1}{R} h'$

Aplicando a TL:

$$AsH'(s) = Q_1'(s) + Q_2'(s) - \frac{1}{R} H'(s) \quad \times R$$

$$(ARs + 1)H'(s) = RQ_1'(s) + RQ_2'(s)$$

Assim, ficamos com:

$$H'(s) = \frac{R}{(ARs + 1)} Q_1'(s) + \frac{R}{(ARs + 1)} Q_2'(s)$$

Funções de Transferência
do modelo

$$G_1(s) = \frac{H'(s)}{Q_1'(s)} = \frac{R}{(ARs + 1)}$$

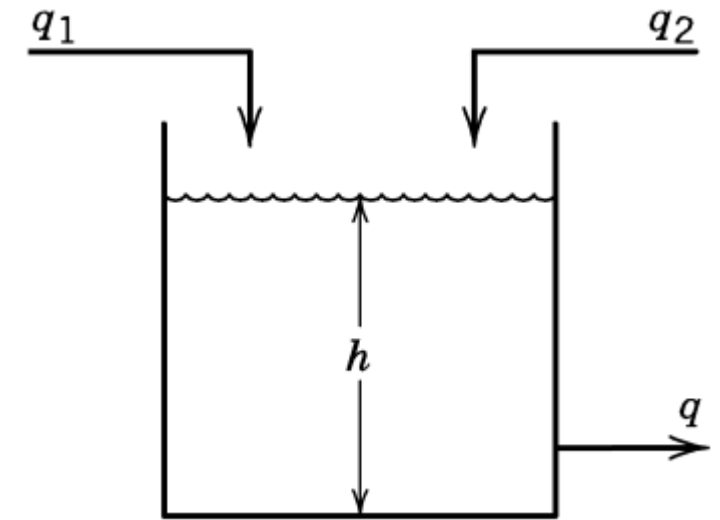
$$G_2(s) = \frac{H'(s)}{Q_2'(s)} = \frac{R}{(ARs + 1)}$$

Exemplo 7.3: Seja o tanque para estocagem de líquidos, de acordo com a figura ao lado. As condições normais de operação são:

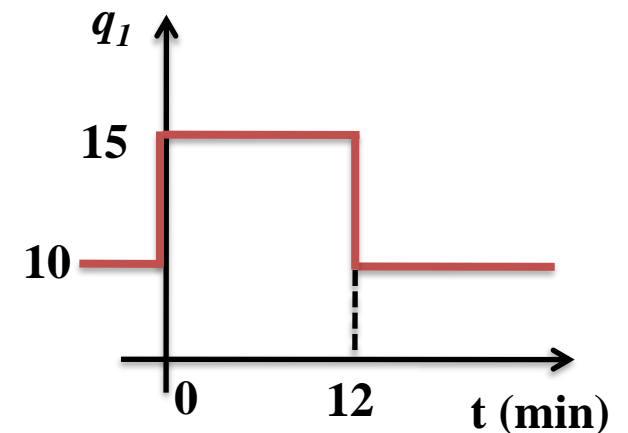
$$\bar{q}_1 = 10 \text{ ft}^3 / \text{min} \quad \bar{q}_2 = 5 \text{ ft}^3 / \text{min} \quad \text{e} \quad \bar{h} = 4 \text{ ft}$$

O tanque possui 6 ft de diâmetro e o fluido é incompressível. Supondo que há uma mudança do tipo pulso em q_1 , que pode ser observada no gráfico a seguir, pede-se:

- a- A FT relacionando H' e Q_1' ;
- b- A expressão para $h(t)$ que corresponde ao pulso (Perturbação);
- c- O valor do novo EE após perturbação;
- d- Para o mesmo intervalo de tempo, repita os itens (b) e (c) para uma mudança de duplo pulso em $q_1 = 10 \rightarrow 15 \rightarrow 5 \rightarrow 10$ (ft^3/min). Desenhe esta perturbação.



Mudança do tipo pulso em q_1



Solução:

$$\text{a- BM: } \frac{dV}{dt} = q_1 + q_2 - q \quad \Rightarrow \quad A \frac{dh}{dt} = q_1 + q_2 - q$$

Colocando em variável desvio, teremos:

$$\frac{dh'}{dt} = \frac{q_1'}{A} + \frac{q_2'}{A} - \frac{q'}{A}$$

Aplicando a TL:

$$sH'(s) = \frac{Q_1'(s)}{A} + \frac{Q_2'(s)}{A} - \frac{Q'(s)}{A}$$

Logo:

$$G_1(s) = \frac{H'(s)}{Q_1'(s)} = \frac{1}{As}$$

b- Perturbação pulso

$$F(s) = \frac{A}{t_w s} (1 - e^{-t_w s})$$

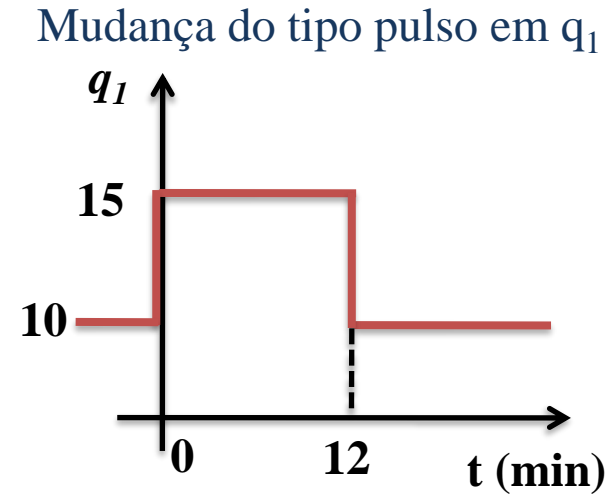
Assim, pelo gráfico teremos: $Q_1'(s) = \frac{5}{s} (1 - e^{-12s})$

Logo: $H'(s) = \frac{1}{As} Q_1'(s) \Rightarrow H'(s) = \frac{1}{\frac{\pi D^2}{4} s} \frac{5}{s} (1 - e^{-12s})$

$H'(s) = \frac{5}{9\pi s^2} - \frac{5}{9\pi s^2} e^{-12s}$, aplicando a TL inversa, teremos:

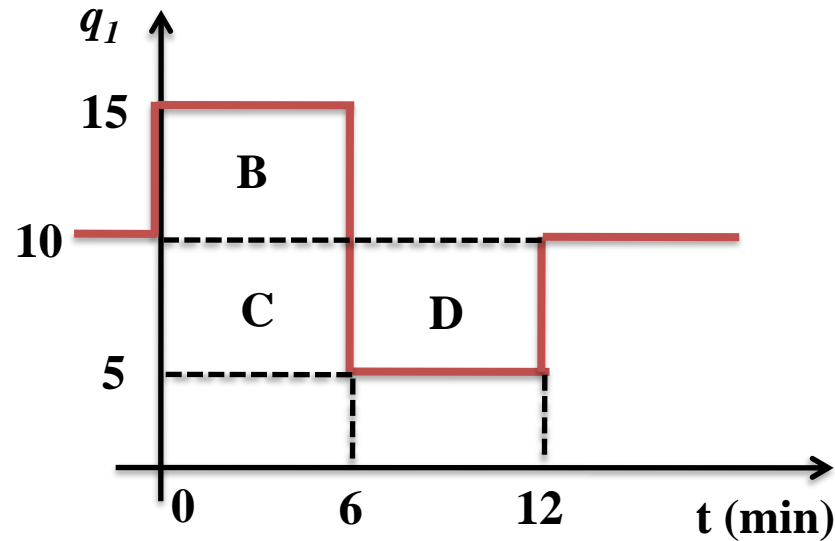
$$L^{-1}[H'(s)] = \frac{5}{9\pi} L^{-1}\left[\frac{1}{s^2}\right] - \frac{5}{9\pi} L^{-1}\left[\frac{e^{-12s}}{s^2}\right]$$

$$h'(t) = \frac{5}{9\pi} t - \frac{5}{9\pi} (t - 12) \Rightarrow h'(t) = \frac{5}{9\pi} (12) \Rightarrow \boxed{h'(t) = 2,12ft}$$



c- $h'(t) = h(t) - \bar{h}(t) \Rightarrow 2,12 = h(t) - 4 \Rightarrow \boxed{h(t) = 6,12\text{ft}}$

d- Duplo pulso:



Podemos dividir o pulso em 3 partes: A, B e C:

$$Q_1'(s) = B + C - D$$

$$Q_1'(s) = \frac{5}{s}(1 - e^{-6s}) + \frac{5}{s}(1 - e^{-6s}) - \frac{5}{s}(1 - e^{-12s}) \Rightarrow Q_1'(s) = \frac{5}{s} - \frac{10}{s}e^{-6s} + \frac{5}{s}e^{-12s}$$

Logo:

$$H'(s) = \frac{1}{As} Q_1'(s)$$

Substituindo $Q_1'(s)$ na equação acima e aplicando a TL inversa, teremos:

$$L^{-1}[H'(s)] = \frac{5}{9\pi} \left\{ L^{-1}\left[\frac{1}{s^2}\right] - 2L^{-1}\left[\frac{e^{-6s}}{s^2}\right] + L^{-1}\left[\frac{e^{-12s}}{s^2}\right] \right\}$$

$$h'(t) = \frac{5}{9\pi} [t - 2(t - 6) + (t - 12)]$$

$$h'(t) = 0\text{ft}$$

Logo o novo EE é:

$$h'(t) = h(t) - \bar{h}(t) \Rightarrow 0 = h(t) - 4 \Rightarrow h(t) = 4\text{ft}$$

PROPOSTA DE EXERCÍCIOS (Entrega não necessária!):

- 1)- Refazer os exercícios do capítulo;
- 2)- Refazer os exercícios resolvidos do Capítulo 4 do Livro Texto (SEBORG D. E. *et al* - 2ª Edição);
- 3)- Fazer os exercícios 4.2, 4.5, 4.6, 4.7, 4.8, 4.9, 4.10, 4.11, 4.12, 4.13, 4.14, 4.15 e 4.16 do Livro Texto (SEBORG D. E. *et al* - 2ª Edição);
- 4)- Demais exercícios de outras bibliografias referente ao assunto do capítulo.

BOM ESTUDO!

Bibliografia

- 1)- SEBORG, D. E., EDGAR, T. F., MELLCHAMP, D. A. – Process Dynamics and Control, Wiley, 2011.
- 2)- SMITH, C. A., CORRIPIO, A. B. – Princípios e Práticas do Controle Automático de Processos, LTC, 3ª edição, 2008.
- 3)- OGATA, K – Engenharia de Controle Moderno, Pearson, 5ª edição, 2011.
- 4)- HENRIQUE, H. M. – Notas de aula. Universidade Federal de Uberlândia, 2009.
- 5)- LUYBEN, W. L. – Process Modeling, Simulation and Control for Chemical Engineers, 2a. Edição, McGraw Hill, 1990.
- 6)- BEQUETTE, B. W. – Process Control. Modeling, Design, and Simulation. Prentice Hall, 2003.
- 7)- SIGHIERI, L., NISHINARI, A. Controle Automático de Processos Industriais – Instrumentação, 2ª Ed, Edgard Blucher, 1997.
- 8)- COUGHANOWR, D.; LEBLANC, S. Process Systems Analysis and Control, McGraw Hill, ed 3, 2008.
- 9)- STEPHANOPOULOS, G. – Chemical Process Control. An Introduction to Theory and Practice, Prentice Hall, 1984.



Obrigado!
Bom estudo!

Prof. Davi Leonardo de Souza
davi.souza@uftm.edu.com